# 燃煤电厂冲灰水系统防垢技术研究\*

唐永明 陈 敏 杨文忠 尹晓爽 刘 瑛 俞 斌 王锦堂 (南京工业大学理学院 南京, 210009)

摘 要 研究了粉煤灰在水中的溶解行为,结果表明: (1) 灰水混合液在不同转速下搅拌 20m in后,pH 值、电导率、碱度、C  $a^{2+}$  浓度等指标不再明显变化; (2) 向混合液中加入 N  $a_2$   $CO_3$  可有效降低 C  $a^{2+}$  的浓度,而且 N  $a_2$   $CO_3$  的投加量与 C  $a^{2+}$  浓度之比(摩尔比)为 0 8 1 时,混合液中 C  $a^{2+}$  即可降至 15m g  $\bullet$   $\Gamma$  1以下; (3) 向灰水分离后的清液中通入  $CO_2$  (6m in) 可将全部碱性物质转化为  $HCO_3$  , 并溶入大量  $CO_2$  ,用此水冲灰可达到与投加 N  $a_2$   $CO_4$ 相似的效果.

关键词 冲灰水, 结垢, 碳酸钠, 二氧化碳.

水力输灰是燃煤电厂最常用的除灰方式,其工作方式是将燃烧后的粉煤灰用水稀释,再用灰浆泵送往储灰场中,灰和水自然分离后,水用泵输回场区再冲灰<sup>[1]</sup>,这种闭路循环的方式正在被广泛采用<sup>[2]</sup>.在上述的除灰系统中,往往伴随着输灰管和输水管的结垢问题,将影响系统的正常运行.

通过向灰水中加入碳酸钠可有效降低灰水中  $Ca^{2+}$  的浓度,使生成的  $CaCO_3$ 与煤灰在沉降池中一同沉降,防止  $CaCO_3$ 灰垢在灰管中形成.如果在沉降出水中通入  $CO_2$ 则可大大提高冲灰水中  $HCO_3$  的浓度,在冲灰时  $HCO_3$  将转化为  $CO_2^{2-[3]}$ ,起到与碳酸钠相似的效果,可降低碳酸钠的消耗量.

本文研究了粉煤灰与水混合后搅拌速度和时间对冲灰水的影响. 通过向冲灰水中加入碳酸钠, 研究碳酸钠的投加量对冲灰水水质的影响. 并通过向沉降上清液中通入  $CO_2$ , 研究  $HCO_3$  的生成及其对冲灰水水质的影响.

### 1 实验方法

将粉煤灰在 120℃下烘干 2h,然后进行 X射线荧光光谱 (XRF,瑞士 ARL9800XP+ ) 分析,粉煤灰的 组 成 为: SiO<sub>2</sub> 49.87%; A ½O<sub>3</sub> 31.00%; Fe<sub>2</sub>O<sub>3</sub> 4.22%; CaO 3.36%; MgO 0.76%; K<sub>2</sub>O 1.31%; Na<sub>2</sub>O 0.42%; T O<sub>2</sub> 1.27%; M nO<sub>2</sub> 0.032%; P<sub>2</sub>O<sub>5</sub> 0.21%.

将粉煤灰与水按照水灰比为 20:1投入机械搅拌器中,在转速分别为 500 r\* m in 1, 800 r\* m in 1, 80

在转速为  $800\,\mathrm{r}^{\bullet}$   $\mathrm{m}\,\mathrm{in}^{-1}$ 时,向混合液中加入不同量的碳酸钠  $(\mathrm{A}\,.\,\mathrm{R}\,)$ ,搅拌  $30\mathrm{m}\,\mathrm{in}$ ,测定加入碳酸钠后混合液中电导率、碱度和  $\mathrm{Ca}^{2^{+}}$ 浓度随时间的变化.

保持水灰比 20: 1、转速  $800\,\mathrm{r}^{\bullet}$  m in  $^{-1}$ 、搅拌  $20\mathrm{m}$  in,向混合液中加入不同量的阴离子聚丙烯酰胺 (PAM,法国 SNF公司),在  $100\mathrm{r}^{\bullet}$  m in  $^{-1}$ 下搅拌  $30\mathrm{s}$  沉降  $10\mathrm{m}$  in,取上层清液,测定  $\mathrm{Ca}^{2^{+}}$ 、碱度.

### 2 转速和搅拌时间对混合液的影响

图 1表明,在较低转速下,如  $500r^{\bullet}$  m in  $^{-1}$ 和  $800r^{\bullet}$  m in  $^{-1}$ , pH 值、碱度、电导率和  $Ca^{2+}$ 浓度均随搅拌时间的增加而增大,但增大的幅度在 20m in后趋缓;而在  $1200r^{\bullet}$  m in  $^{-1}$ ,搅拌 20m in后, pH 值、碱度、电导率和  $Ca^{2+}$ 浓度基本趋于稳定;若转速增至  $1500r^{\bullet}$  m in  $^{-1}$ ,搅拌 20m in n pH 值、碱

<sup>2005</sup>年8月23日收稿.

<sup>\* &</sup>quot;十五" 国家科技攻关项目 (Na 2004BA 313B14).

# 度、电导率和 $Ca^{2+}$ 浓度均达到最大值,再继续延长搅拌时间,4种指标均出现不同程度的下降。

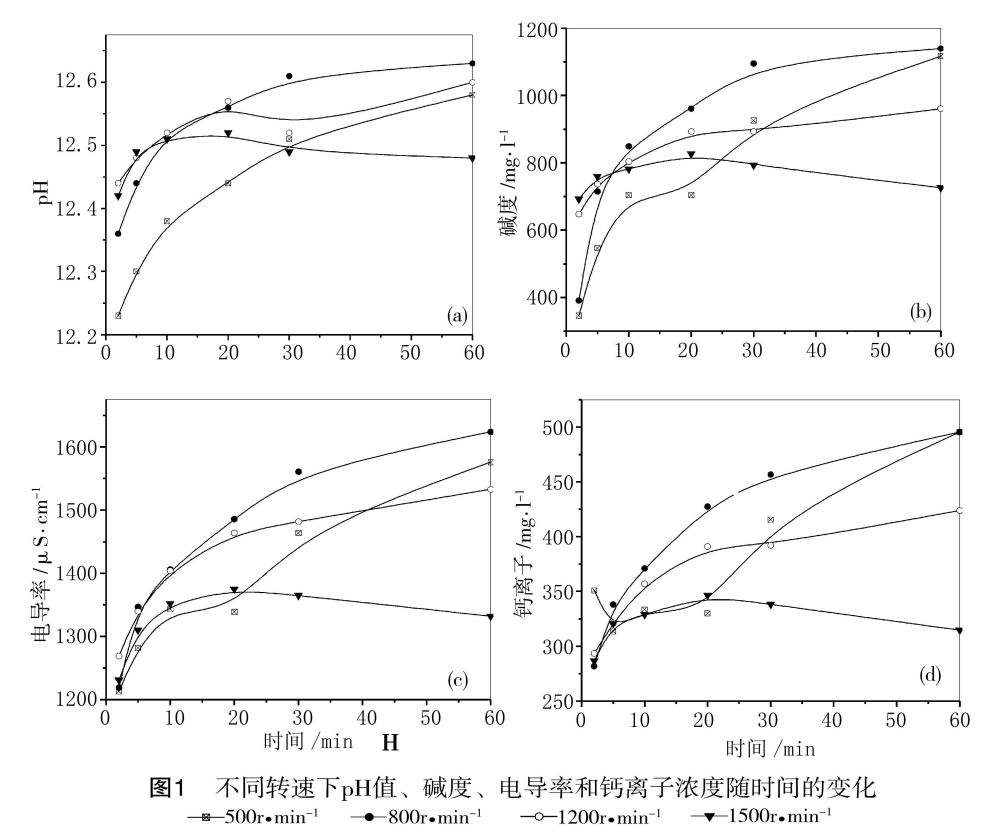
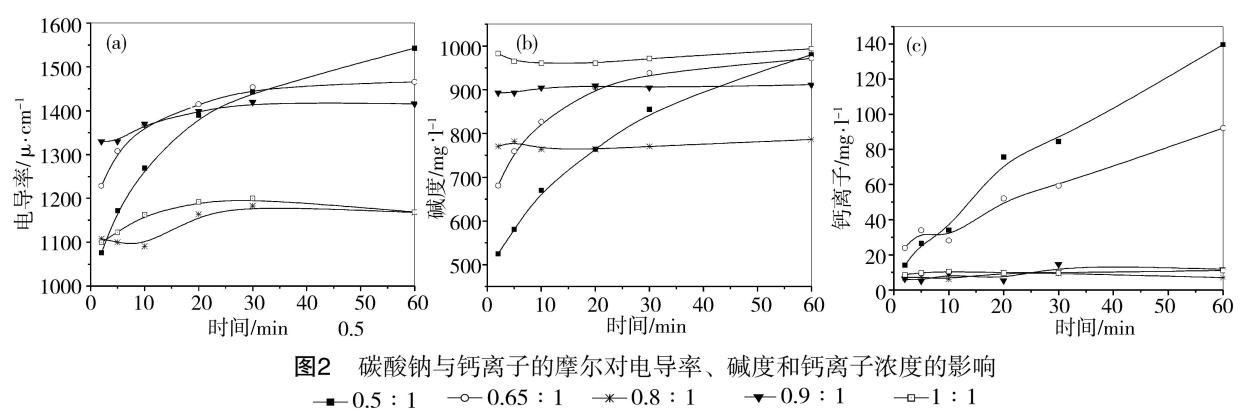


Fig.1 Curves of pH, alkalinity, conductance and Ca<sup>2+</sup> concentration depending on time at different rotat speed

# 3 加入 Na<sub>2</sub>CO<sub>3</sub>对混合液的影响

加入  $Na_2CO_3$ 可增加混合液中  $CO_3^{2-}$  的浓度,并与  $Ca^{2+}$  反应生成  $CaCO_3$ 沉淀,降低混合液中  $Ca^{2+}$  的浓度,减缓灰管结垢的趋势。图 2为不同  $Na_2CO_3$ 与  $Ca^{2+}$  的比值(摩尔比)下的实验结果。



**Fig.2** Effect of Na<sub>2</sub>CO<sub>2</sub>:Ca<sup>2+</sup>(mol) on conductance alkalinity and Ca<sup>2+</sup> concentration

图 2(a, b)表明,向混合液中加入的  $N_{a_2}CO_3$ 量与  $Ca^{2^+}$ 量之比为 0.5:1和 0.65:1时,电导率和碱度均随搅拌时间的增加而增大,且在搅拌 30m in后趋于稳定,说明此时  $CaCO_3$ 的沉淀反应已基本完成,但残余  $Ca^{2^+}$ 量仍然较大(图 2c).继续增加  $Na_2CO_3$ 量至其与  $Ca^{2^+}$ 量之比为 0.8:1,混合液的电导率和碱度最低,说明  $CaCO_3$ 的沉淀已全部完成,混合液中  $Ca^{2^+}$ 浓度已低于  $15mg^{\bullet}$   $\Gamma^1$ ,若再增大  $Na_2CO_3$ 量,并不能增加  $Ca^{2^+}$ 的去除程度,甚至会使混合液中  $Ca^{2^+}$ 的浓度略有增大.这是由于加入  $Na_2CO_3$ 将对混合液中  $Ca^{2^+}$ 浓度产生两种相反的影响:一方面  $Na_2CO_3$ 的加入造成  $Ca^{2^+}$ 的浓度下降,另一方面, $Ca^{2^+}$ 浓度的下降又导致游离  $CaO_3$ 的加速溶解生成更多的  $Ca^{2^+}$ ,因此,必然存在一个  $Na_2CO_3$ 的

最佳用量,在此用量下混合液中  $Ca^{2+}$  浓度最低,低于或高于此用量都将使混合液中  $Ca^{2+}$  浓度偏高.

向混凝沉淀上清液中通入  $CO_2$ , 6m in E1. E1 值降至 7.0以下,酚酞碱度降至 9, 此时水中所有的碱性物质均转化为 E1E20; 并存在大量溶解 E20; 向通气 1020 向通气 1030 1030 加 in 1030 104 加 in 104 1050 105

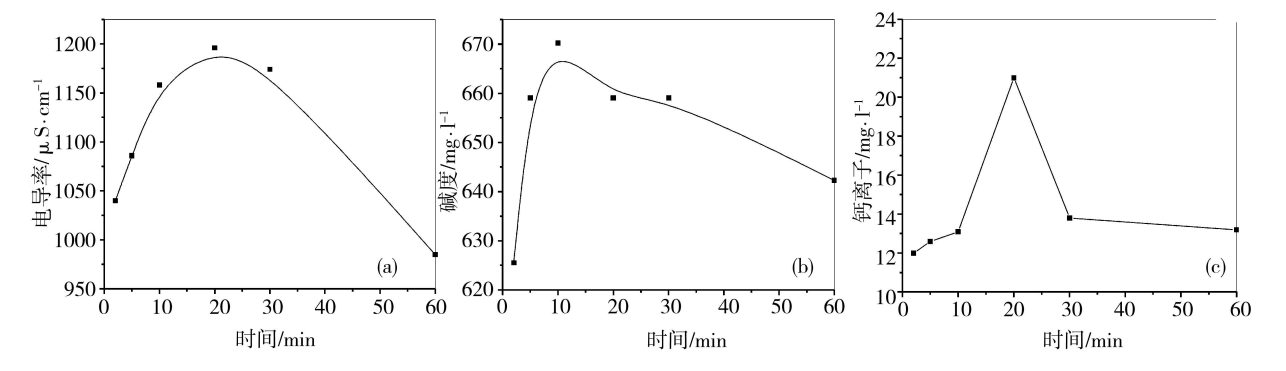


图 3 混合液的电导率、碱度和钙离子浓度随时间的变化

Fig. 3 Curves of conductance, a kalin ity and Ca<sup>2+</sup> concentration depending on time in mixed soliution

在搅拌 20n in之前,混合液的电导率和碱度均随时间的增加而增大,这是由于游离的  $CO_2$ 与煤灰中游离的 CaO反应生成  $Ca(HCO_3)_2$ 造成的。但随游离 CaO 溶解量的增大,  $CO_2$ 迅速被消耗和逸出,混合液中  $Ca^{2+}$ 浓度迅速增大, $HCO_3^-$  迅速转化为  $CO_3^{2-}$  ,  $Ca^{2+}$  与  $CO_3^{2-}$  结合生成  $CaCO_3$ 沉淀,使混合液电导率和碱度迅速下降。混合液中的  $Ca^{2+}$  也显示了相似的趋势。搅拌 30m in后,混合液中  $Ca^{2+}$  浓度已降至 14m g•  $\Gamma^1$ 以下。因此,通过通入  $CO_2$ 可达到与投加碳酸钠相似的效果。

综上所述,在水灰比为 20:1、搅拌速度 800 r• m in<sup>-1</sup>下,向混合液中加入 N a CO<sub>3</sub>,使 N a CO<sub>3</sub>与 Ca<sup>2+</sup>浓度之比为 0.8:1,搅拌 30m in 可将 Ca<sup>2+</sup> 浓度降至 15m g•  $\Gamma$  以下.另外,向混凝上清液中通入 CO<sub>2</sub> (6m in) 可使碱性物质全部转化为  $HCO_3$ ,并溶入大量  $CO_2$ ,达到与投加 N a CO<sub>3</sub>相似的效果.

#### 参考文献

- [1] 周晓蔚, 罗运柏, 何蓉, 火电厂灰水系统防垢技术的现状 [J]. 工业水处理, 1999, 19 (5): 3-5
- [2] 朱志平、刘明、陈云清、燃煤电厂灰水闭路循环系统防垢新技术 [J] . 热力发电、1994 (6): 47-49
- [3] 陈亚非、高翔、方梦祥等,火电厂水力输灰系统阻垢防垢研究 [J] . 热能动力工程、1999、14 (4): 260—262

# STUDY OF SCALE INHIBITION IN ASH WATER OF POWER STATION

TANG Yong ming CHEN M in YANG Wen-zhong YN X iao-shu ang LIU Ying YU B in WANG Jin-tang (College of Science, Nan jing U n ivers ity of Technology, Nan jing 210009, China)

#### **ABSTRACT**

The dissolution behavior of coal ash was studied, and in order to reduce concentration of  $Ca^{2+}$  in composite solution of ash and water,  $Na_2CO_3$  was added.  $CO_2$  was aerated in the solution after ash was separated, and new ash was dissolved again. It was found that 1) pH, conductance, a kalinity and  $Ca^{2+}$  achieved stability after composite solution was stirred for 2Om in, 2) Concentration of  $Ca^{2+}$  in composite solution was reduced by addition of  $Na_2CO_3$ , and when the mol ratio of  $Na_2CO_3$  and  $Ca^{2+}$  was 0. 8: 1, concentration of  $Ca^{2+}$  was reduced to less than  $15 \text{ mg}^{\bullet}$   $\Gamma^{-1}$ ; 3) All a kalinity was converted to  $HCO_3^-$ , and  $CO_2$  was dissolved in the solution in which ash was separated after  $CO_2$  was aerated for 6m in. The effect of  $CO_2$  on ash dissolution resembled of  $Na_2CO_3$ .

Keywords ash water, scale, Na<sub>2</sub>CO<sub>3</sub>, CO<sub>2</sub>.